

## 1. まえがき

砂の静的液状化は飽和されたゆるい砂がせん断力を受け、液体のように流れる状態である。この時の状態を定常状態 (steady-state) と言う。著者らは非常にゆるい砂の供試体を作成することに成功し、非排水試験から steady-state line の低圧部を求め、砂の変形特性を調べたので報告する。

## 2. 試料

試料は福井県三国海岸で採取した海砂で、2 mm ふるい通過分を使用した。粒度分布及び物理的性質を Fig. 1、Table 1 に示す。粒形は球状または半球状で偏平なものはなく貝殻などもほとんど含まれていなかった。

## 3. 供試体の作成方法

C U 試験に使用する非常にゆるい供試体を得るために、含水比10%の試料をモールドの中へスプーン約1杯ずつ入れ、均等につき固める。CO<sub>2</sub>を1時間通過させ、その後上部排水口からコンバムにより-0.05kgf/cm<sup>2</sup>の負圧をかける。そしてビューレットから脱気水を1分間に10cm<sup>3</sup>となるように徐々に注入する。このときコンバムからの負圧はかけたままで、脱気水が上部排水口から出始めたら下部排水口を止め負圧0.05kgf/cm<sup>2</sup>を確認した後、モールドを外し、寸法を計る。直径は9カ所計り平均を取った。C D 試験での供試体は相対密度20%、50%、90%の3種類とし、乾燥砂を用い作成した。

## 4. 試験方法

ひずみ速度1%/minで、CD試験では軸圧縮量が0.5mmごとに主応力差と体積変化量を読みとり、ひずみは15%、CU試験では軸圧縮量が0.5mmごとに主応力差と間隙水圧を読みとり、ひずみは30%とした。

Table 1 Index Properties

G <sub>s</sub>	2.735
D <sub>10</sub> (mm)	0.15
D <sub>30</sub> (mm)	0.23
D <sub>60</sub> (mm)	0.35
U <sub>c</sub>	2.33
U <sub>e</sub>	1.01
e <sub>max</sub>	1.059
e <sub>min</sub>	0.636

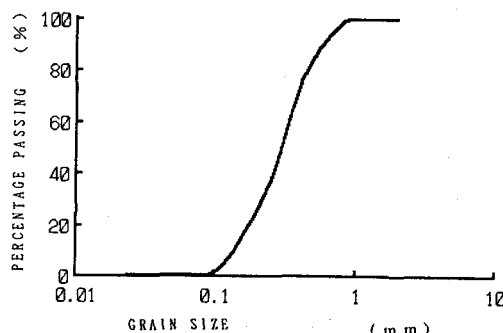


Fig. 1

## 5. 試験結果及び考察

## 5.1 steady state line

CD試験から steady-state line を求めるために、A. Casagrande が定義した限界間隙比及びその時の側圧（限界側圧）を用いた。初期状態が同じ供試体について主応力差-圧縮ひずみの関係より破壊時の圧縮ひずみを求め、さらにこのときの体積ひずみを求める。これを4種類の側圧について行い、側圧-体積ひずみのグラフで一次式に近似し、体積ひずみがゼロの時の側圧を求める。これが限界側圧であり、このときの間隙比が限界間隙比である。この限界間隙比と限界側圧をゆるい状態 (D<sub>r</sub>=20%) 中詰め状態 (D<sub>r</sub>=50%) しまった状態 (D<sub>r</sub>=90%) について求め、図示したものがFig. 2 の実線で示す steady-state line である。CU試験結果をTable 2 に示し、Fig. 3 には圧縮ひずみとせん断力、Fig. 4 には応力経路を示した。せん断応力は小さなひずみでピークに達しその後ひずみ約15%でせん断力一定となり、この時点での応力経路も一定となったことから steady-state と考えられる。また、側圧0.5kgf/cm<sup>2</sup>では軸ひずみ7%で供試体が座屈し、このときの間隙水圧は側圧と同じ0.5kgf/cm<sup>2</sup>であった。

これは、間隙水圧が側圧と同じ値まで増加した時点で側方拘束圧がキャンセルされ、quick sandが発生したものと考えられる。Fig. 2 の○印は CU 試験に用いた供試体の初期状態の間隙比であり、steady-state になったときの間隙比と有効側圧 ( $\sigma'$ ) をプロットしたものが●印である。このプロットは明らかに CD 試験から求めた steady-state line の低圧部につながるものである。ここで有効側圧とは間隙水圧を考慮し  $\sigma' = \sigma_3 - \Delta u$  で表される。

### 5.2 液状化ポテンシャル ( $L_p$ )

$L_p$  は A. Casagrande が定義した次式から求める。

$$L_p = \frac{\sigma_{3c} - \sigma_{3f}}{\sigma_{3f}} \quad \text{--- (1)}$$

ここに  $\sigma_{3c}$  : 圧密曲線上の側圧

$\sigma_{3f}$  :  $\sigma_{3c}$  と同じ間隙比での S.S.L. 上の限界側圧

式 (1) を間隙水圧を考慮した式に書換えると  $\sigma_{3f} = \sigma_{3c} - \Delta u$  であるから、

$$L_p = \frac{\Delta u}{\sigma_{3c} - \Delta u} \quad \text{--- (1')}$$

となる。この式からもとめた  $L_p$  の値を Table 2 に示した。ここで液状化を起こしているのは①～⑤で、とくに⑤での  $L_p$  は液状化を起こしているなかで最小値 8.1 となった。⑥～⑧は側圧を  $1.0 \text{ kgf/cm}^2$  とし、間隙比を小さくしていったもので、ここでは間隙水圧がピーク後減少したため、最大値をもって  $L_p$  を計算した。これより  $L_p$  は間隙比の大小に依存することがわかる。

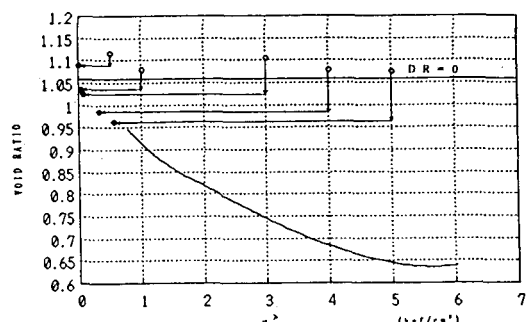


Fig. 2

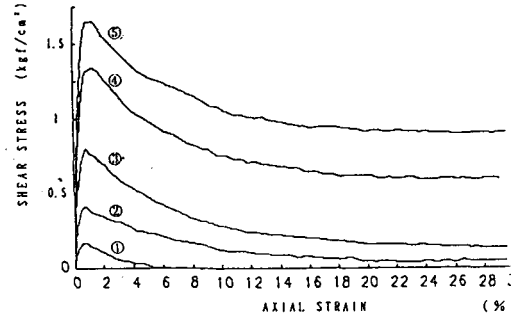


Fig. 3

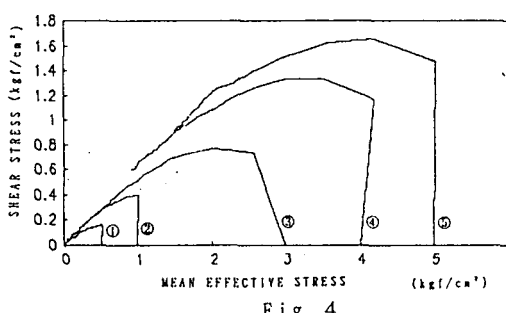


Fig. 4

Table 2 Test Results of the CU-Triaxial Test

	$\sigma_3$ $\text{kgf/cm}^2$	$\Delta u$ $\text{kgf/cm}^2$	$\sigma_3 - \Delta u$ $\text{kgf/cm}^2$	$e_s$	$e_c$	$L_p$
①	0.5	0.5	0	1.116	1.089	$\infty$
②	1.0	0.97	0.03	1.078	1.036	32
③	3.0	2.93	0.07	1.104	1.025	42
④	4.0	3.69	0.31	1.079	0.985	11.9
⑤	5.0	4.45	0.55	1.075	0.964	8.1
⑥	1.0	0.80	0.20	1.007	0.979	4
⑦	1.0	0.38	0.62	0.988	0.957	0.6
⑧	1.0	0.35	0.65	0.984	0.956	0.35

### 6) 結論

- 1) 相対密度が負になるような極めてゆるい供試体では静的載荷でもせん断力、有効応力ともにゼロになり、quick sand が発生した。
- 2) 非常にゆるい供試体の CU 試験により、CD 試験では求められなかった低圧部での steady-state line を求めることができた。
- 3) CU 試験から液状化する  $L_p$  の値を求める L  $p \geq 8$  という結果が得られた。

(参考文献) A. Casagrande : "Characteristics of Cohesionless Soils Affecting the Stability of Slopes and Earth Fills", Boston Society of Civil Engineers, pp257-276 (1936)